



임피던스 경계조건은 다음과 같다.

$$\theta_{e,h}^{\pm} = \begin{cases} \sin^{-1}\left(\frac{1}{\eta^{\pm}}\right) & E\text{-pol (TM case)} \\ \sin^{-1}(\eta^{\pm}) & H\text{-pol (TE case)} \end{cases} \quad (1)$$

여기서,  $\eta^{\pm} = \frac{Z^{\pm}}{Z_0}$  이며  $Z_0$ 는 자유공간의 임피던스이다.  $\pm$ 는 각각 웨지의 중앙면(0면)과 바깥쪽면(n면)을 나타내며 첨자  $e$ 는 입사파의 전계가 엷지와 평행함을 뜻하고 첨자  $h$ 는 입사파의 자계가 엷지와 평행함을 뜻한다.

### 2.1 일차 회절파의 비균일 표현식

그림 2에서 평면파가 임피던스 웨지에 평면파가 수직으로 입사된다. 따라서 입사파는 다음과 같다.

$$\left. \begin{matrix} E_z^i \\ H_z^i \end{matrix} \right\} = e^{jk(x \cos \phi_0 + y \sin \phi_0)} \quad (2)$$

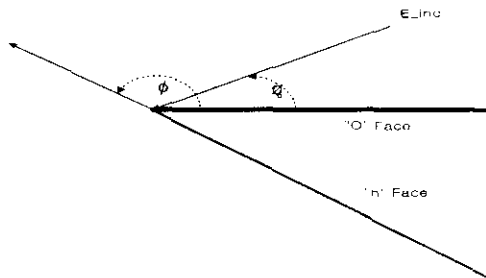


그림 2 임피던스 웨지의 구조

이 경우에, 회절파는 다음과 같다.[5]

$$u_1^d(\phi, \phi_0) = \frac{j}{2\pi n} \int_{s(0)} \sin \frac{\frac{\phi_0}{n}}{\Psi\left(\frac{n\pi}{2} - \phi_0\right)} e^{jk\rho \cos \alpha} \cdot \left\{ \frac{\Psi\left(\alpha + \pi + \frac{n\pi}{2} - \phi\right)}{\cos\left(\frac{\alpha + \pi - \phi}{n}\right) - \cos\left(\frac{\phi_0}{n}\right)} - \frac{\Psi\left(\alpha - \pi + \frac{n\pi}{2} - \phi\right)}{\cos\left(\frac{\alpha - \pi - \phi}{n}\right) - \cos\left(\frac{\phi_0}{n}\right)} \right\} d\alpha \quad (3)$$

여기서, 적분경로  $S(0)$ 는 SDP(steepest descent path) 적분경로이다.  $\Psi$ 와  $\Psi_0(z)$ 는 [5]와 [6]에서 정의된 함수이다. 식(3)에 대한 1차 근사식을 취하면 다음과 같이 비균일 일차회절파 표현식을 얻을 수 있다.

$$u_1^d(\phi, \phi_0) = \frac{1}{2\pi n} \sqrt{\frac{2\pi}{k\rho}} \frac{\Psi\left(-\phi + \frac{n\pi}{2} + \pi\right)}{\Psi\left(\frac{n\pi}{2} - \phi_0\right)} e^{-jk\rho} e^{-j\pi/4} \sin \frac{\phi}{n} \left\{ \frac{1}{\cos\left(\frac{\pi + \phi_0}{n}\right) - \cos\left(\frac{\phi}{n}\right)} - \frac{1}{\cos\left(\frac{\pi - \phi_0}{n}\right) - \cos\left(\frac{\phi}{n}\right)} \right. \\ \left. - \frac{\sin\left(\frac{\phi_0}{n}\right) C_{0n}(-\phi)}{\cos\left(\frac{\pi + \phi}{n}\right) - \cos\left(\frac{\phi_0}{n}\right)} \right\} d\alpha \quad (4)$$

식(4)의 회절파 표현식에는 표면파 성분이 포함되지 않으므로 원거리에서만 타당한 결과를 준다. 표면파 성분을 포함하는 균일 표현식은 다음과 같이 유도된다.[8]

$$u_1^d(\phi, \phi_0) \sim D^{NU}(\phi, \phi_0) \frac{e^{-jk\rho}}{\sqrt{\rho}} = D^{NU}(\phi, \phi_0) - \frac{1}{2n\pi} \frac{\sin \frac{\phi_0}{n}}{\Psi(\phi - \phi_0)} \sqrt{\frac{2\pi}{k}} e^{-j\pi/4} \\ \cdot \left\{ \sum_{\rho=1,2,4} A_{\rho} \frac{\left\{ 1 - F_{k\rho} \left[ \pm \left( \sqrt{2k\rho} \cos \frac{\alpha_{\rho}}{2} \right)^2 \right] \right\}}{\cos \frac{\alpha_{\rho}}{2}} \right. \\ \left. - \sum_{\rho=1,3,5} B_{\rho} \frac{\left\{ 1 - F_{k\rho} \left[ \pm \left( \sqrt{2k\rho} \cos \frac{\alpha_{\rho}}{2} \right)^2 \right] \right\}}{\cos \frac{\alpha_{\rho}}{2}} \right\} \quad (5)$$

$$A_1 = \frac{n}{2} \frac{\Psi(\phi - \phi_0)}{\sin \frac{\phi_0}{n}} \cdot P_{2\pi}(\alpha_1 - \pi) \quad (6)$$

$$A_2 = -\frac{n}{2} \frac{\Psi(\phi + \phi_0)}{\sin \frac{\phi_0}{n}} \cdot P_{2\pi}(\alpha_2 - \pi) \quad (7)$$

$$A_4 = n \frac{\csc\left(\frac{\alpha_4 - \alpha_5}{2n}\right)}{\cos\left(\frac{\alpha_4 - \phi}{n}\right) - \cos \frac{\phi_0}{n}} \Psi^+(\alpha_4 + \phi - \phi) \cdot P_{2\pi}(Re\{\alpha_4\} - \pi) \quad (8)$$

$$B_1 = -A_1 \cdot \{1 - P_{2\pi}(\alpha_1 - \pi)\} \quad (9)$$

$$B_3 = \frac{n}{2} \frac{\Psi(-3\phi + \phi_0)}{\sin \frac{\phi_0}{n}} \cdot P_{2\pi}(\alpha_3 + \pi) \quad (10)$$

$$B_5 = n \frac{\csc\left(\frac{\alpha_5 - \alpha_4}{2n}\right)}{\cos\left(\frac{\alpha_5 - \phi}{n}\right) - \cos \frac{\phi_0}{n}} \Psi^-(\alpha_5 + \phi - \phi)$$

$$\cdot P_{2n}(Re\{a_3\} + \pi) \quad (11)$$

$$\begin{aligned} \alpha_1 &= \phi - \phi_0, & \alpha_2 &= \phi + \phi_0, & \alpha_3 &= -2n\pi + \phi + \phi_0, \\ \alpha_4 &= \pi + \phi + \theta^+, & \alpha_5 &= -\pi - (n\pi - \phi) - \theta^- \end{aligned} \quad (12)$$

$$\begin{aligned} \Psi\left(\alpha + \frac{n\pi}{2} - \phi\right) &= \\ \csc\left(\frac{\alpha - \alpha_4}{2n}\right) \csc\left(\frac{\alpha - \alpha_5}{2n}\right) \Psi^+\left(\alpha + \frac{n\pi}{2} - \phi\right) \end{aligned} \quad (13)$$

### 2.3 이차 회절파

그림 4는 이차 회절파의 산란 매커니즘을 나타낸 것이다.

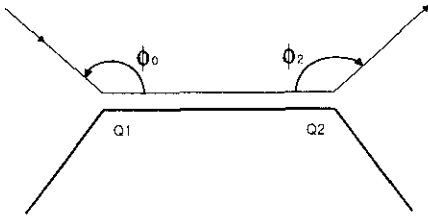


그림 4 이차 회절파의 산란 매커니즘

위상 중심점은 Q1이고 모든 각은 공통면(0면)에 대한 각이다.  $\eta_0, \eta_1, \eta_2$ 는 각각 공통면(0면), 웨지 Q1의 바깥면(n면), 웨지 Q2의 바깥면(n면)의 정규화된 표면 임피던스이다. ESRM(extended spectral ray method)[1,2,4]과 수정된 Pauli-Clemmow방법[8]에 의해 계산된 이차회절파는 다음과 같이 주어진다.

$$\begin{aligned} u_{21}^d(\phi_2, \phi_0) &= \frac{-j}{\pi k(mn)^2} \frac{e^{-jk\omega}}{\sqrt{w}} \frac{e^{-jk\rho}}{\sqrt{\rho}} \\ &\cdot \frac{\Psi\left(\frac{n\pi}{2} + \pi\right) \Psi\left(\frac{m\pi}{2} + \pi\right)}{\Psi\left(\frac{n\pi}{2} - \phi_0\right) \Psi\left(\frac{m\pi}{2} - \phi_2\right)} \\ &\cdot a_1 a_2 a_3 [A(1 - F_{kp}(kwa_1)) + B(1 - F_{kp}(kwa_2))] \\ &+ C(1 - F_{kp}(kwa_3))] \cdot \left\{ \frac{1}{1 - \cos\left(\frac{\pi - \phi_0}{n}\right)} \right. \\ &\quad \left. \frac{\sin\left(\frac{\phi_0}{n}\right) C_{om}(0)}{\cos\left(\frac{\pi}{n}\right) - \cos\left(\frac{\phi_0}{n}\right)} \right\} \\ &\cdot \left\{ \frac{1}{1 - \cos\left(\frac{\pi + \phi_2}{m}\right)} - \frac{1}{1 - \cos\left(\frac{\pi - \phi_2}{m}\right)} \right. \\ &\quad \left. + \frac{\sin\left(\frac{\phi_2}{m}\right) C_{om}(0)}{\cos\left(\frac{\pi}{m}\right) - \cos\left(\frac{\phi_2}{m}\right)} \right\} \frac{e^{-jk\alpha}}{2} \end{aligned}$$

$$\cdot \left\{ \frac{1}{1 - \cos\left(\frac{\pi + \phi_2}{m}\right)} - \frac{1}{1 - \cos\left(\frac{\pi - \phi_2}{m}\right)} \right. \quad (14)$$

$$\left. + \frac{\sin\left(\frac{\phi_2}{m}\right) C_{om}(0)}{\cos\left(\frac{\pi}{m}\right) - \cos\left(\frac{\phi_2}{m}\right)} \right\} \frac{e^{-jk\alpha}}{2}$$

$$a_1 = 2\cos^2 \frac{\phi_0}{2}, \quad a_2 = 2\cos^2 \frac{\phi_2}{2}, \quad a_3 = 2\sin^2 \frac{\theta}{2} \quad (0\text{면의 } \theta)$$

$$A = \frac{-1}{(a_2 - a_1)(a_3 - a_1)}, \quad B = \frac{-1}{(a_1 - a_2)(a_3 - a_2)}$$

$$C = \frac{-1}{(a_1 - a_3)(a_2 - a_3)} \quad (15)$$

$F_{kp}(z)$ 는 Fresnel 함수로서 다음 식으로 주어진다.

$$F_{kp}(z) = 2j\sqrt{z} e^{jz} \int_{\sqrt{z}}^{\infty} e^{-t^2} dt \quad (16)$$

$z$ 가 복소수일 경우에는 Fresnel 함수를 Clemmow의 천이함수로 바꾸어 계산한다[8].

### 2.4 삼차 회절파

그림 5는 삼차 회절파의 산란 매커니즘을 나타낸 것이다.

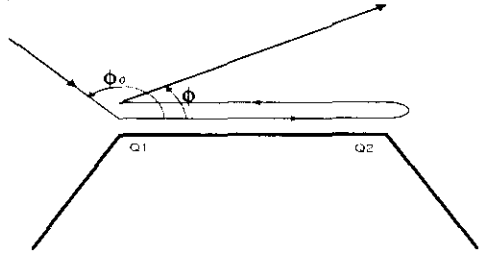


그림 5 삼차 회절파의 산란 매커니즘

삼차 회절파의 계산은 이차 회절파의 유도과정과 동일하다. ESRM[1,2,4]과 수정된 Pauli-Clemmow 방법[8]을 이용하여 유도된 결과는 다음과 같다.

$$\begin{aligned} u_{121}^d(\phi, \phi_0) &= \frac{j2\sqrt{2} e^{-2k\omega} e^{j3\pi/4}}{(k\pi)^{3/2} w(nm)^3 n} \frac{e^{-jk\rho}}{\sqrt{\rho}} \\ &\cdot \frac{\Psi^2\left(\frac{n\pi}{2} + \pi\right) \Psi\left(\frac{m\pi}{2} + \pi\right)}{\Psi\left(\frac{n\pi}{2} - \phi_0\right) \Psi\left(\frac{n\pi}{2} - \phi\right) \Psi\left(\frac{m\pi}{2}\right)} \\ &\cdot \frac{a_1 a_3^2 a_4}{a_3 - a_4} [A(1 - F_{kp}(kwa_1)) + B(1 - F_{kp}(kwa_2))] \\ &+ C(1 - F_{kp}(kwa_3))] \cdot [F_{kp}(kwa_3) - F_{kp}(kwa_4)] \end{aligned}$$

$$\begin{aligned}
 & \cdot \frac{e^{-j\alpha x}}{4} \left\{ \frac{1}{1 - \cos\left(\frac{\pi - \phi_0}{n}\right)} - \frac{1}{1 - \cos\left(\frac{\pi + \phi_0}{n}\right)} \right. \\
 & \left. - \frac{\sin\left(\frac{\phi_0}{n}\right) C_{om}(0)}{\cos\left(\frac{\pi}{n}\right) - \cos\left(\frac{\phi_0}{n}\right)} \right\} \cdot \left\{ \frac{1}{1 - \cos\left(\frac{\pi - \phi}{n}\right)} \right. \\
 & \left. - \frac{1}{1 - \cos\left(\frac{\pi + \phi}{n}\right)} - \frac{\sin\left(\frac{\phi}{n}\right) C_{om}(0)}{\cos\left(\frac{\pi}{n}\right) - \cos\left(\frac{\phi}{n}\right)} \right\} \\
 & \cdot \left\{ \frac{-2 \sin \frac{\pi}{m}}{\left[1 - \cos\left(\frac{\pi}{m}\right)\right]^2} - \frac{C_{om}(0)}{1 - \cos\left(\frac{\pi}{m}\right)} \right\} \quad (14)
 \end{aligned}$$

$$a_4 = 2 \cos^2\left(\frac{\phi}{2}\right)$$

### 3. 해석결과 및 고찰

그림 6은 그림 1의 구조에 대하여 E-편파된 평면파가 입사하는 경우의 역 산란 패턴을 도시한 것이다.  $n = m = 1.5$ 인 경우에는  $180^\circ$  에서,  $n = m = 1.25$ 인 경우에는  $135^\circ$  근처에서 역산란되는 파의 세기가 증가함을 알 수 있다. 또한, 바깥쪽 웨지각의 크기가 작아짐에 따라 역 산란 패턴이 왼쪽으로 이동해 감을 볼 수 있다. 그림 7은 0면과 n면의 표면 임피던스가  $\eta_0 = \eta_1 = \eta_2 = 0.25$ 로 모두 동일한 경우에 다양한 웨지각에 대해 산란패턴을 나타낸 것이다.

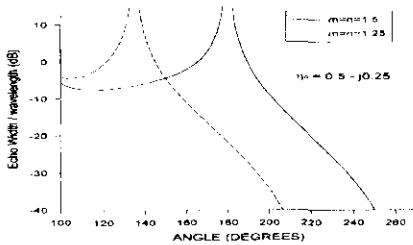


그림 6 역 산란 패턴 (E-편파)

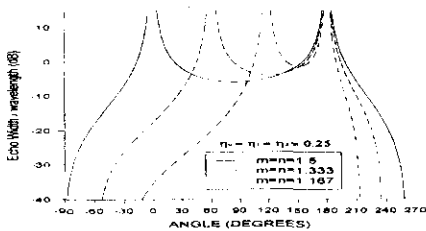


그림 7 산란 패턴 (입사각=1.3°, E-편파)

### 4. 결론

두 개의 웨지를 갖는 불완전도체 구조에 대해 산란파를 해석하였다. 웨지에서의 일차 회절파, 웨지-표면파-웨지산란의 이차 회절파, 웨지-표면파-웨지-표면파-웨지산란의 삼차 회절파를 계산하였다. 이차 회절파와 삼차 회절파는 Rahmat-Samii 와 Mittra[3]에 의해 도입된 STD(Spectral Theory of Diffraction)를 일반화한 ESRM(extended spectral ray method)[1,2,4]과 수정된 Pauli-Clemmow steepest descents 적분법을 이용하여 근사 계산하였다. 정확한 값을 얻기 어려운 Maliuzhinets 함수값은 Volakis의 근사식[6]을 이용하여 계산하였다.

### 참 고 문 헌

- [1] R. Tiberio, G. Manara, G. Pelosi and R.G. Kouyoumjian, "High Frequency diffraction by a double wedge," presented at IEEE/Antennas Propagat. Soc. Symp. Nat. Radio Sci. Meet., Vancouver, Canada, June 1985
- [2] R. Tiberio, F. Bessi, G. Manara, and G. Pelosi, "Scattering by a strip with two face impedances at edge on incidence," Radio Sci., vol. 17, Sept.-Oct. 1982
- [3] Y. Rahmat-Samii and R. Mittra, "A spectral domain interpretation of high-frequency diffraction phenomena," IEEE Trans. Antennas Propagat., vol. AP-25, 676-687, 1977
- [4] R. Tiberio and R. G. Kouyoumjian, "A uniform GTD solution for the diffraction by strips at grazing incidence," Radio Sci., vol. 14, no. 6, pp. 933-941, 1979
- [5] G. D. Maliuzhinets, "Excitation, reflection and emission of surface waves from a wedge with given face impedances," Sov. Phys. Dokl., Eng. Transl., vol. 3, 752-755, 1958
- [6] M. I. Herman, J. L. Volakis, and T. B. A. Senior, "Analytic expression for a function occurring in diffraction theory," IEEE Trans. Antennas Propagat., vol. AP-35, pp. 1083-1086, Sept. 1987.
- [7] J. L. Volakis and M. I. Herman, "A uniform asymptotic evaluation of integrals," Proc. IEEE, vol. 74, no. 7, 1043-1044, 1986.
- [8] P. C. Clemmow, *The Plane Wave Spectrum Representation of Electromagnetic Fields*. New York: Pergamon, 1966